

بررسی برهم کنش بین نانوعملگر پریفولدینی و محموله بیماریزا دایمر آمیلوئید بتا به روش دینامیک مولکولی

مسعود کرامتی¹، رضا حسنزاده قاسمی^{2*}

1- دانشجوی کارشناسی ارشد، مهندسی مکانیک، دانشگاه حکیم سبزواری، سبزوار
2- استادیار، مهندسی مکانیک، دانشگاه حکیم سبزواری، سبزوار
* سبزوار، صندوق پستی 397، r.hasanzadeh@hsu.ac.ir

اطلاعات مقاله

مقاله پژوهشی کامل
دریافت: 03 اردیبهشت 1395
پذیرش: 19 تیر 1395
ارائه در سایت: 16 مرداد 1395
کلید واژگان:

چکیده

بیماری آلزایمر شایع‌ترین نوع زوال عقل است. پپتیدهای آمیلوئید بتا نقش کلیدی را در آسیب‌شناسی بیماری آلزایمر عهده‌دار هستند و تحقیقات اخیر نشان داده است که الیگومرهای آمیلوئید بتا سمی‌ترین جز آن هستند. در بین الیگومرها، نوع دایمر با توجه به ماندگاری بالا در مقایسه با دیگر انواع، دارای اثرات سمی بیشتری می‌باشد. پریفولدین یک چپرون مولکولی است که از تجمع پروتئین‌هایی که اشتباه تاخوردند جلوگیری کرده و نشان داده شده است که می‌تواند به‌عنوان یک نانوعملگر نیز ایفای نقش کند. در اینجا ما به بررسی برهم‌کنش بین نانوعملگر پریفولدینی و نانو محموله بیماریزا دایمر در ابعاد مولکولی پرداختیم که بدین منظور شبیه‌سازی دینامیک مولکولی تمام اتم در محیط حلال صریح در دمای فیزیولوژیک انجام گرفت. بعد از تصویرسازی از نتایج و همچنین بررسی فواصل اتمی بین اتم‌های نانوعملگر و محموله بیماریزا مشخص شد که دو بازو از شش بازوی عملگر توانسته‌اند محموله را در برگیرند و با آن در طول مدت زمان شبیه‌سازی، پیوندهای هیدروژنی برقرار کنند. همچنین با بررسی اثرات آب‌گریزی بین آمینواسیدهای آب‌گریز در محموله و نانوعملگر مشخص شد آب‌گریزی تأثیر مثبتی در پایداری اتصال دو بازوی پیوند یافته با محموله داشته است. پژوهش حاضر، پریفولدین را به‌عنوان یک عامل مهارکننده برای الیگومر نوع دایمر از آمیلوئید بتا معرفی می‌کند که می‌تواند در درمان بیماری آلزایمر بسیار مؤثر باشد.

بیماری آلزایمر
الیگومر آمیلوئید بتا
چپرون مولکولی
نانوعملگر پریفولدینی
دینامیک مولکولی

Study of interaction between prefoldin nano actuator and amyloid beta dimeric pathogenetic cargo with MD simulation

Masoud Keramati, Reza Hasanzadeh Ghasemi*

Department of Engineering, Hakim Sabzevari University, Sabzevar, Iran.
* P.O.B. 397, Sabzevar, Iran, r.hasanzadeh@hsu.ac.ir

ARTICLE INFORMATION

Original Research Paper
Received 22 April 2016
Accepted 09 July 2016
Available Online 06 August 2016

Keywords:

Alzheimer's disease
Amyloid beta oligomers
Molecular chaperone
Prefoldin nano actuator
Molecular Dynamics

ABSTRACT

Alzheimer's is the most common form of dementia. Amyloid beta peptides play a key role in the pathology of Alzheimer's disease and the recent surveys have demonstrated that amyloid beta oligomers are the most toxic component of them. Among oligomers, considering the high durability of dimer in comparison to other kinds has more toxic effects. Prefoldin is a molecular chaperone which prevents accumulation of misfolded proteins. Prefoldin has demonstrated that it can also operate as a nano actuator. In this article, the interaction between the prefoldin nano actuator and dimeric pathogenetic nano cargo in molecular dimensions is investigated; hence all-atom molecular dynamic simulation in explicit solvent was performed at physiological temperature. Visualizing the results and investigating the atomic distance between nano actuator and pathogenetic nano cargo revealed that two arms of six arms of prefoldin nano actuator have been able to capture cargo and during the simulation they have made hydrogen bonds. Furthermore, investigating the hydrophobic effects between the hydrophobic amino acids in the cargo and nano actuator revealed that these effects have positively affected the stability of the binding between arms and the cargo. This article introduces prefoldin as an inhibitory factor for dimeric oligomer from amyloid beta.

1- مقدمه

در سال 2016 میلادی به 116 میلیون نفر برسد. برخلاف تلاش‌های صورت گرفته در دهه‌های گذشته، طبیعت بیماری آلزایمر هنوز به‌صورت کامل شناخته شده نیست که این موضوع برای توسعه یک درمان کامل، حیاتی می‌باشد [2].
پیدایش و گسترش بیماری آلزایمر توسط تجمع پپتیدهای آمیلوئید

بیماری آلزایمر شایع‌ترین نوع زوال عقل است و برای اولین بار در سال 1907 معرفی شد [1]. اکنون این بیماری به‌عنوان یک خطر بزرگ برای سلامت در جوامع مدرن شناخته می‌شود. تخمین زده شده که مقدار مبتلایان به این بیماری در جهان که در سال 2010 میلادی حدود 36 میلیون نفر بوده است

Please cite this article using:

M. Keramati, R. Hasanzadeh Ghasemi, Study of interaction between prefoldin nano actuator and amyloid beta dimeric pathogenetic cargo with MD simulation, *Modares Mechanical Engineering*, Vol. 16, No. 7, pp. 385-391, 2016 (in Persian)

برای ارجاع به این مقاله از عبارت ذیل استفاده نمایید:

سمت تولید حداقل الیگومرها سوق دهد [12]. پریفولدین¹⁹ یک چپرون مولکولی است که در هر دو نوع سلول آرکیا²⁰ و یوکاریوت‌ها وجود دارد. پریفولدین در سیتوزول²¹ یوکاریوت با پلی‌پپتیدهای²² تازه متولدشده واکنش انجام می‌دهد و آنان را پایدار می‌کند. پریفولدین یوکاریوتی به اکتین²³، توبولین²⁴ و احتمالاً دیگر پروتئین‌های تانخورده متصل می‌شود و آن‌ها را به چپرونین²⁵ سیتوزولی شامل TCP-1 (CCT) برای تاخوردن به حالت عادی و طبیعی منتقل می‌کند [13]. پریفولدین آرکیایی یک مجموعه 6 تایی از 2 زیر واحد آلفا (متشکل از 151 آمینواسید) و 4 زیر واحد بتا (متشکل از 117 آمینواسید) است. همان‌طور که در شکل 1 آمده، حفره مرکزی بزرگ به همراه 6 بازوچه مارپیچ به آن ساختاری شبیه به ستاره دریایی داده است. تقریباً زنجیره‌های جانبی قطبی و باردار در معرض حلال هستند. از سوی دیگر، آمینواسیدهای آب‌گریز²⁶ در همان زیر واحد بین دو مارپیچ آلفا شیار آب‌گریز را تشکیل می‌دهند. این شیارهای آب‌گریز مسئول برهم‌کنش با نواحی آب‌گریز پروتئین‌های تانخورده است [14].

با بررسی اثر پریفولدین آرکیایی بر روی توده‌های آمیلوئید بتای 1-42 در محیط آزمایشگاهی، نتایج حاکی از تشکیل الیگومرهای محلول آمیلوئید بتا و از بین رفتن فیبریل‌های آن در محیط آزمایش بوده است. همچنین نشان داده شده است که این الیگومرها نسبت به فیبریل‌های آمیلوئید سمی تر

بتا¹ به شکل پلاک پیری² در خارج از سلول و تشکیل کلافه‌های عصبی³ در داخل سلول توسط پروتئین تائو⁴، شناخته می‌شود. این ساختارها، اثرات زیان‌باری مانند مرگ سلول‌های عصبی و سیناپس⁵ را دارا بوده که باعث ظهور بیماری آلزایمر می‌شود. پپتید آمیلوئید بتا از تجزیه پروتئین پیش‌ساز آمیلوئید⁶ ایجاد شده و اغلب دارای 36-43 آمینواسید⁷ است [3].

در ابتدا تصور می‌شد که رسوب پلاک‌ها در خارج از سلول، عامل شروع بیماری است [4] ولی امروزه شواهد زیادی حاکی از این است که الیگومرهای محلول⁸ نقش اصلی را در از دست دادن سیناپس‌ها و آسیب‌های شناختی بر عهده دارند [5]. اخیراً در تحقیقی آزمایشگاهی مشخص شد که الیگومرهای آمیلوئید بتا⁹ باعث آسیب دیدن حافظه و شکل‌پذیری سیناپس¹⁰ می‌شود، درحالی‌که چنین اثراتی برای پلاک‌های نامحلول¹¹ یافت نشده است [6].

مکانیسم سمی بودن الیگومرها به‌صورت گسترده‌ای چه تئوری و چه آزمایشگاهی مورد بررسی قرار گرفته است که در اینجا به‌طور خلاصه معرفی می‌شوند: (1) به کار انداختن اثرات فساد آمیز بوسیله برهم‌کنش مستقیم با غشای سلول (2) القاء تنش اکسایشی¹² توسط تشکیل کمپلکس فلز-آمیلوئید بتا (3) از کار انداختن گیرنده‌های غشا توسط اتصال به آن‌ها (4) ایجاد روزنه و سوراخ در غشا (5) تغییر ساختار DNA خاص بوسیله فرآیند الصاق [3].

چپرون‌های مولکولی¹³ معرف یک گروه متمایز از پروتئین‌ها هستند که پروتئین‌های تانخورده¹⁴ را شناسایی و محصور کرده و از تاخوردن اشتباه¹⁵ و انباشته شدن آن‌ها جلوگیری می‌کنند و همچنین کمکی برای گذار پروتئین‌ها به یک ساختار طبیعی هستند [7]. توانایی چپرون‌های مولکولی در جلوگیری از تاخوردن نادرست و دوباره تازدن پروتئین‌هایی که ساختار طبیعی خود را از دست داده‌اند باعث شده تا آنان دارای نقشی کلیدی در مطالعه بیماری‌هایی باشند که در نتیجه تاخوردن نادرست پروتئین‌ها ایجاد می‌شوند و یک عامل درمانی بالقوه به‌حساب آیند [8,9].

در تحقیقات متعددی به نقش چپرون‌های مولکولی در بیماری آلزایمر پرداخته شده است. پژوهشی بر روی پروتئین شوک حرارتی کوچک¹⁶ α - β کریستالین¹⁷ نشان داد که این چپرون می‌تواند فرآیند فیبریل شدن را متوقف کرده و اثرات سمی آن‌ها را تقلیل دهد [10]. گزارش شده است پروتئین شوک حرارتی Hsp27 در مغز مبتلایان به آلزایمر افزایش می‌یابد و این پروتئین می‌تواند سلول‌های عصبی غشایی را در مقابل اثرات سمی آمیلوئید بتا محافظت کند [11]. هنگامی که فیبریل‌های آمیلوئید بتا تشکیل شوند، سطوح آن‌ها تشکیل الیگومرهای سمی را تسهیل می‌کند. بررسی اثر یک چپرون مولکولی (بریچوز¹⁸) نشان داده است که این چپرون می‌تواند از اثر تسهیل‌کنندگی تولید الیگومر جلوگیری کرده و سمی بودن آمیلوئید بتا⁴² را محدود سازد. این چپرون با اتصال به سطح فیبریل می‌تواند مسیر تجمع را به

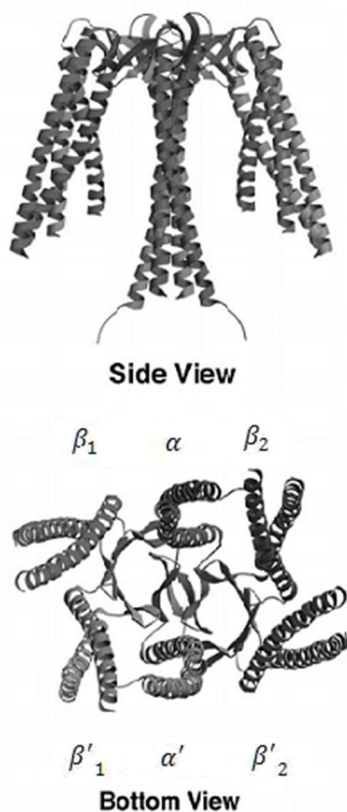


Fig. 1 Crystal structure of archaea prefoldin [14]

شکل 1 ساختار کریستالی پریفولدین آرکیایی [14]

¹⁹ Prefoldin (PFD)
²⁰ archaea
²¹ cytosol
²² polypeptide
²³ actin
²⁴ tubulin
²⁵ chaperonin
²⁶ hydrophobic

¹ amyloid β
² senile plaque
³ neurofibrillary tangle
⁴ tau
⁵ synapses
⁶ amyloid precursor protein
⁷ amino acid
⁸ soluble oligomer
⁹ dimer
¹⁰ Synaptic plasticity
¹¹ insoluble plaque
¹² oxidative stress
¹³ Molecular chaperones
¹⁴ unfolded protein
¹⁵ misfolding
¹⁶ heat shock protein
¹⁷ crystallin
¹⁸ Brichos

نانومحمله پیوند برقرار کند و آن را در بر بگیرد بازوی H است. همچنین در این شکل واضح است که بازوی C نتوانسته در یک فاصله ثابت نسبت به محموله قرار گیرد که این مطلب در مورد بازوهای A و E نیز صادق می‌باشد. این مشاهدات نشان می‌دهد بازوهای نانوعملگر پریفولدینی دارای تغییرات موقعیتی قابل توجهی بوده است.

برای اینکه دقیق‌تر مشخص شود نانوعملگر پریفولدینی تا چه میزان توانسته با نانومحمله پیوند برقرار کند، تعداد پیوندهای هیدروژنی برقرار شده بین این دو به‌صورت تابعی از مدت زمان شبیه‌سازی در شکل 6 مورد بررسی قرار داده شده است. بر این اساس پریفولدین و محموله در ابتدا دارای هیچ پیوندی نبودند و اولین پیوندها تقریباً در 1.5 ns ابتدایی و مطابق با نتایج حاصله از بررسی فواصل اتمی این پیوندها به هنگام نزدیک شدن دو بازو به محموله اتفاق افتاده و البته تعداد آن‌ها در طول مدت شبیه‌سازی دارای نوسان است و به پایداری نرسیده است. با توجه به عدم پایداری پیوندهای هیدروژنی عامل دیگری نیز باید در جذب نانومحمله و همچنین پایدار ماندن تماس بین آن و پریفولدین مؤثر باشد.

اثرات آب‌گریزی⁸ معرف جاذبه مشاهده شده بین ذرات غیرقطبی⁹ به‌منظور تجمع آن‌ها در محیط‌های آبی برای داشتن کمترین سطح تماس با مولکول‌های آب است. با توجه به اینکه زنجیره جانبی در محموله بیماری‌زا غالباً آب‌گریز است [18] و همچنین به دلیل حضور آمینواسیدهای آب‌گریز در نانوعملگر [14]، اثرات آب‌گریزی بین محموله و عملگر مورد بررسی قرار گرفت. بدین منظور تعداد تماس‌ها بین آمینواسیدهای آب‌گریز از نانومحمله و پریفولدین یعنی یک اتم از محموله بیماری‌زا و یک اتم از نانوعملگر در فاصله کمتر از 0.6 nm بررسی شد که نتایج حاصل از آن در شکل 7 آمده است. همان‌طور که قابل مشاهده است در اینجا نیز در ابتدا هیچ تماسی بین مولکول‌های نانومحمله و پریفولدین نبوده و تعداد تماس‌ها تا 5 ns ابتدایی در حال نوسان است ولی در بقیه مدت زمان شبیه‌سازی به حالتی تقریباً پایدار می‌رسد که می‌توان نتیجه گرفت اثرات آب‌گریزی با توجه به اینکه زنجیره جانبی در نانومحمله غالباً آب‌گریز است، نقش مهمی را در جذب محموله توسط پریفولدین و همچنین پایدار ماندن تماس بین این دو ایفا می‌کند.

مشاهده شده است که دیمرهای آمیلوئید بتا دارای تغییرات بسیار زیادی در پیکربندی هستند و نسبت به الیگومرهای دیگر، مدت زمان بیشتری لازم است تا با فیبریل‌ها ترکیب شوند. همین ماندگاری بالای آن‌ها می‌تواند به‌عنوان توضیحی برای اثرات بالای سمی بودن آن‌ها برای سیناپس‌ها باشد [21]. یکی از دلایل عدم اتصال دیگر بازوها می‌تواند همین تغییرات زیاد در پیکربندی محموله بیماری‌زا دیمر باشد که در شکل 8 آمده است.

از شکل 8 که تغییرات در پیکربندی نانومحمله را در زمان‌های مختلف نمایش می‌دهد می‌توان دریافت که ساختار U شکل اولیه که در شکل 2 نمایش داده شد در همان 3 ns ابتدایی شبیه‌سازی به کلی تغییر کرده که این تغییرات باعث می‌شود تا آمینواسیدهای باردار، قطبی و آب‌گریز در محموله نسبت به بازوهای پریفولدین در زمان‌های مختلف به نحوی قرار گیرند تا با ایجاد اثرات منفی مانند دافعه الکترواستاتیکی، مانع از اتصال تمام بازوهای پریفولدین به محموله بیماری‌زا شود که این نتیجه سازگار با یافته‌های تجربی است که بر اساس آن در حضور پریفولدین آرکیایی میزان تولید الیگومرهای سمی افزایش یافته که یکی از دلایل این موضوع گرفتن و رها کردن آن‌ها

مینیمم‌سازی انرژی در 1536 گام و با الگوریتم بیشترین نزول¹ انجام گرفت تا تماس‌های نامناسب بین اتم‌ها، حذف شود. برای رسیدن سیستم به حالت تعادل، در دو مرحله، شبیه‌سازی با قیود موقعیت برای اتم‌های سنگین انجام گرفت. مرحله اول شامل 100 ps شبیه‌سازی تحت شرایط NVT (حجم ثابت) بود. اتم‌های پروتئین و غیر پروتئین تحت کوپل حرارتی جداگانه قرار گرفتند و دما توسط الگوریتم V-Rescale² ثابت نگه‌داشته شد. بعد از NVT، سیستم به مدت 100 ps دیگر تحت شرایط NPT (فشار ثابت) با کوپل پرینلو-رحمان³ برای ثابت نگه‌داشتن فشار در 1 bar متعادل شد.

شبیه‌سازی دینامیک مولکولی به مدت 12 ns انجام گرفت. در حین شبیه‌سازی، الگوریتم لینکس⁴ برای مقید کردن تمام پیوندها، روش PME⁵ برای برهمکنش‌های الکترواستاتیکی دوربرد، شعاع قطع 1 nm برای برهمکنش‌های کوتاه برد الکترواستاتیکی و واندروالس، گام زمانی 2 fs و شرایط مرزی پرودیوک⁶ اتخاذ شد. دما نیز بوسیله کوپل جداگانه سیال و پروتئین با ترموستات V-Rescale⁷ و فشار هم با تنظیم‌کننده فشار پرینلو-رحمان در 1 bar ثابت نگه‌داشته شده است. برای تصویر کردن ساختارهای اولیه و نتایج حاصل از شبیه‌سازی دینامیک مولکولی از نرم‌افزارهای پایمول و VMD⁷ استفاده شده است.

3- نتایج

برای بررسی عملکرد نانوعملگر پریفولدینی و مشاهده برهم‌کنش آن با نانومحمله بیماری‌زا از شبیه‌سازی دینامیک مولکولی استفاده شد. شکل 4 نتایج حاصل را نشان می‌دهد که بیان‌گر تغییرات پیکربندی نانوعملگر پریفولدینی به دلیل برهم‌کنش با محموله بیماری‌زا نسبت به موقعیت اولیه می‌باشد. همان‌طور که در شکل 4 قابل مشاهده است بعد از 2 ns پریفولدین توانسته با دو بازوی خود محموله را در بر بگیرد. در بقیه زمان‌های شبیه‌سازی دیگر بازوها قادر به گرفتن محموله نبودند و فقط توانستند نزدیک و سپس دور شوند. آشکار است که ساختار کلی نانوعملگر پریفولدینی حفظ شده و تنها شکل و اندازه حفره مرکزی برای گرفتن نانومحمله تغییر کرده است. این نتایج نشان‌دهنده تغییرات شدید بازوهای ماریچ است، به عبارتی نانوعملگر پریفولدینی دارای انعطاف‌پذیری بالایی برای گرفتن نانومحمله می‌باشد.

محاسبه فاصله اتمی بین یک اتم یا یک آمینواسید منتخب از نانومحمله با یک اتم یا یک آمینواسید منتخب از بازوهای نانوعملگر راه دیگری برای مشاهده دقیق‌تر گرفته شدن نانومحمله توسط نانوعملگر است. به عبارتی امکان صحنه‌گذاری نتایج گرافیکی بدست آمده از شبیه‌سازی‌های دینامیکی را فراهم می‌آورد. فواصل بین اتم‌های بازوهای نانوعملگر پریفولدینی و نانومحمله در شکل 5 رسم شده است. زنجیره‌های C, B, E, G و H مربوط به نانوعملگر و F, D, مربوط به نانومحمله می‌باشند. در شکل 5-الف، مشخص است که بازوی G در 2 ns به محموله نزدیک شده و تقریباً در ادامه نیز در همان فاصله نسبت به محموله باقی مانده است ولی بازوی B در طول مدت شبیه‌سازی نسبت به محموله دارای نوسان بوده و نتوانسته آن را بگیرد. در شکل 5-ب نیز می‌توان دریافت که دومین بازویی که توانسته با

¹ steepest descent

² V-rescale

³ Parrinello-Rahman

⁴ LINCS

⁵ Particle mesh Ewald

⁶ Periodic boundary condition

⁷ Visual Molecular Dynamics

⁸ hydrophobic effect

⁹ nonpolar

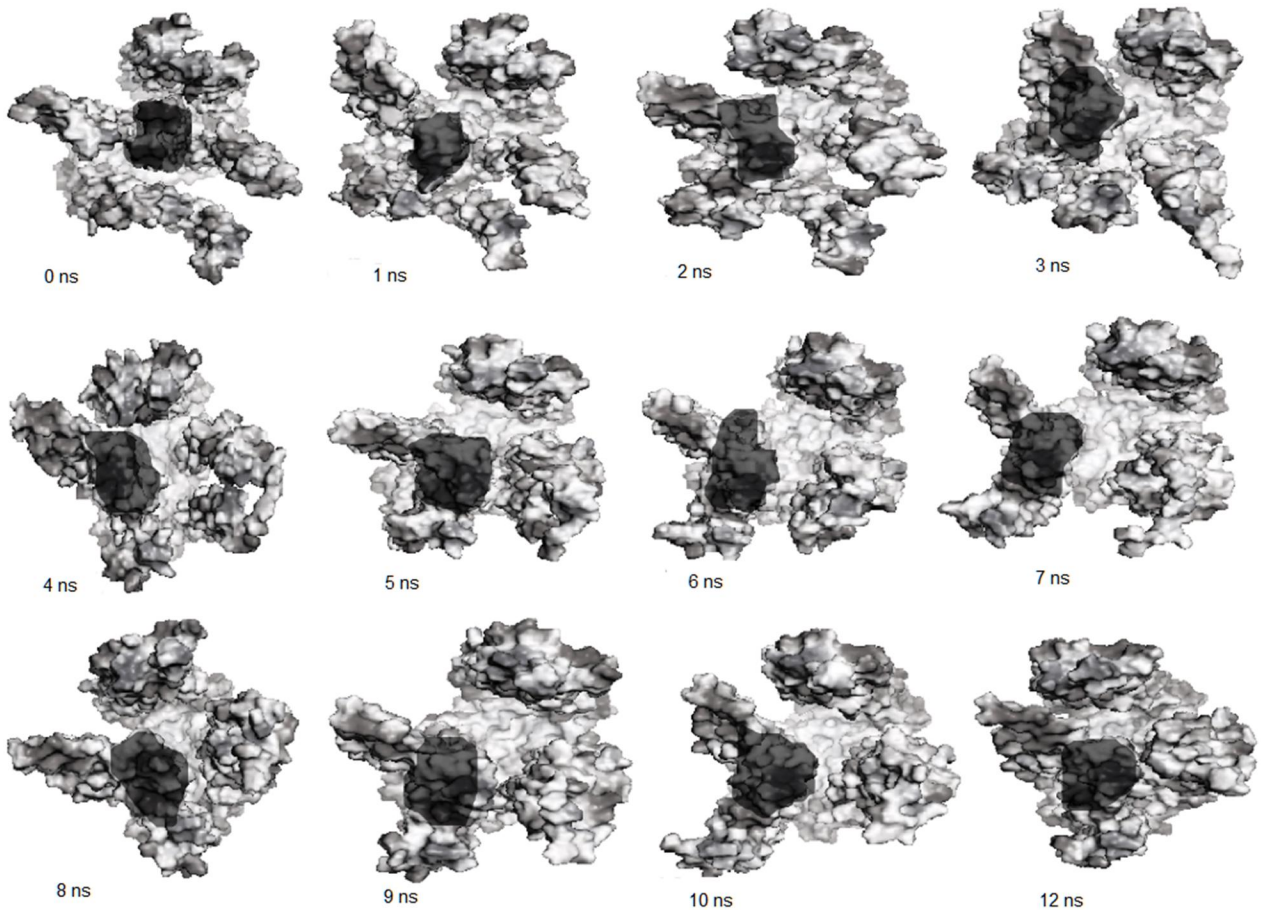


Fig. 4 Conformational changes in prefoldin nano actuator in the presence of pathogenetic cargo in the various time of simulation, the cargo marked as dark color for better recognition.

شکل 4 تغییرات پیکربندی نانوعملگر پریفولدینی در حضور محموله بیماری‌زا در مراحل و زمان‌های مختلف شبیه‌سازی و نحوه گرفتن محموله توسط آن، محموله برای تشخیص بهتر با رنگ مشکی مشخص شده است.

توسط پریفولدین آرکیایی عنوان شده است [15].

4- نتیجه‌گیری

اتصال دیگر بازوها می‌تواند همین تغییرات باشد زیرا باعث می‌شود تا آمینواسیدهای باردار، قطبی و آب‌گریز در محموله نسبت به بازوهای پریفولدین در زمان‌های مختلف به نحوی قرار گیرند تا با ایجاد اثرات منفی مانند دافعه الکترواستاتیکی مانع از اتصال تمام بازوهای پریفولدین به محموله بیماری‌زا شود.

- بررسی تعداد پیوندهای هیدروژنی برقرارشده بین نانوعملگر و محموله بیماری‌زا نشان داد که این دو در ابتدا دارای هیچ پیوندی نبوده و سپس با نزدیک شدن دو بازو در 1.5 ns ابتدایی اولین پیوندها بین آن‌ها شکل گرفته است ولی تعداد پیوندها در طول مدت شبیه‌سازی به مقداری پایدار نرسیده است.
- با توجه به حضور آمینواسیدهای آب‌گریز در نانومحمله و نانوعملگر و بررسی اثرات آب‌گریزی بین محموله و عملگر این نتیجه حاصل شد که اثرات آب‌گریزی نقش مهمی را در جذب محموله توسط پریفولدین و همچنین پایدار ماندن تماس بین این دو ایفا می‌کند.
- با توجه به نتایج حاصل از این پژوهش می‌توان دریافت که نانوعملگر پریفولدینی با توجه به قابلیت‌ها و ویژگی‌های طبیعی خود می‌تواند تاحدی محموله بیماری‌زا دیمر را مهار کند. به منظور افزایش قدرت مهار، نانوعملگر پریفولدینی نیاز به ویژگی‌های جدیدی دارد تا بتواند در مدت زمان کم‌تر و همچنین با تعداد بازوهای

در این مقاله نحوه تعامل نانوعملگر پریفولدینی و محموله بیماری‌زا مربوط به آلزایمر مورد بررسی قرار گرفت. با توجه به نقش الیگومرها در پیشروی بیماری آلزایمر و از دست‌دادن سیناپس‌ها و آسیب‌های شناختی، الیگومرها به عنوان عامل بیماری‌زا در نظر گرفته شد. چپرون‌های مولکولی به دلیل کاربرد آن‌ها در شناسایی پروتئین‌های تانخورده و جلوگیری از اشتباه تاخوردن و انباشته شدن آن‌ها مورد توجه هستند و به‌عنوان عامل درمانی بالقوه برای بیماری‌هایی که معلول درست تانخوردن پروتئین‌ها هستند شناخته می‌شوند. در این پژوهش پریفولدین آرکیایی که قبلاً به‌عنوان یک نانوعملگر معرفی شده است [16]، به‌منظور عاملی مهارکننده برای الیگومر نوع دیمر انتخاب شد. بعد از انجام شبیه‌سازی دینامیک مولکولی تمام اتم در محیط حلال صریح در دمای فیزیولوژیک و بررسی نتایج مربوط به فواصل اتمی نتایج زیر بدست آمد:

- دو بازو از شش بازوی نانوعملگر پریفولدینی توانایی اتصال به محموله بیماری‌زا دیمر را داشته و بقیه بازوها در طول مدت زمان شبیه‌سازی قادر به اتصال نبودند و تنها دور و نزدیک شدند.
- با توجه به تغییر پیکربندی شدید محموله بیماری‌زا در طول مدت شبیه‌سازی و اثبات این موضوع در شکل 8، دلیل عدم

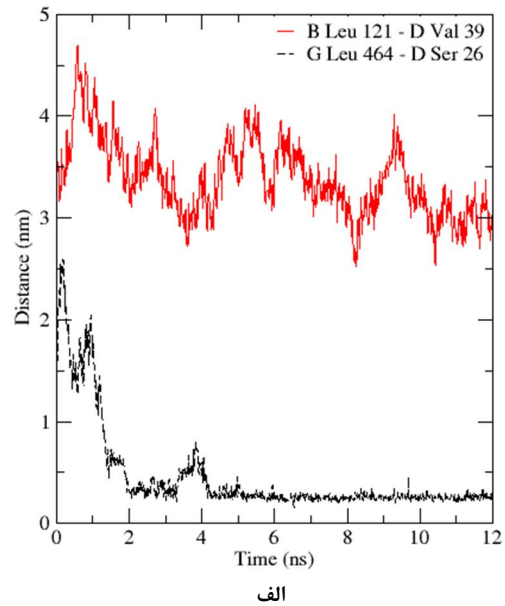
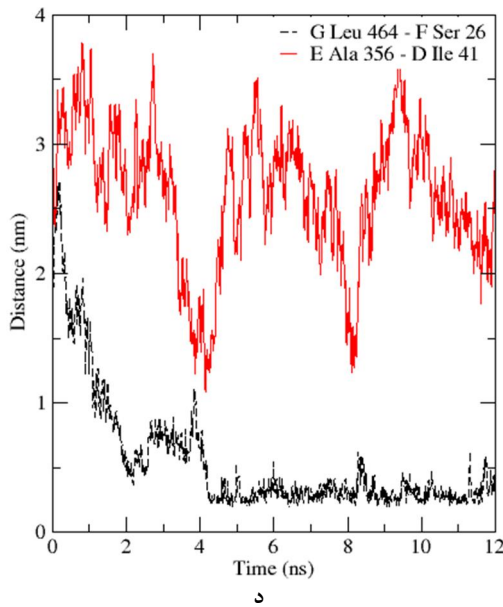


Fig. 5 Atomic distance between prefoldin nano actuator and pathogenetic nano cargo in the 12 ns MD simulation

شکل 5 فاصله اتمی بین بازوهای نانوعملگر پریفولدینی و نانومحموله بیماری‌زا در طول مدت 12 ns شبیه‌سازی دینامیک مولکولی

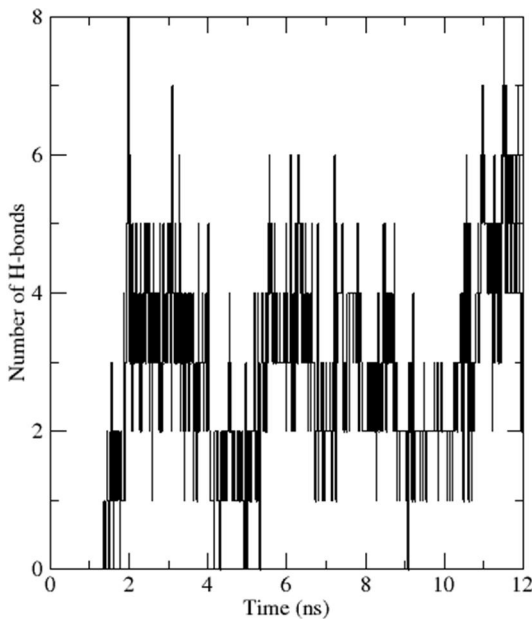
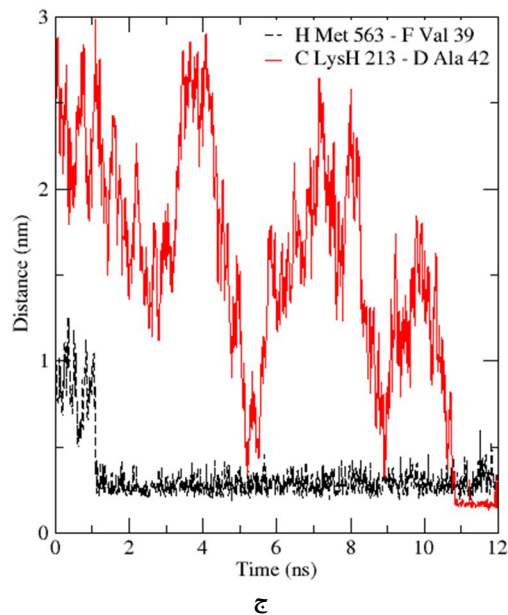
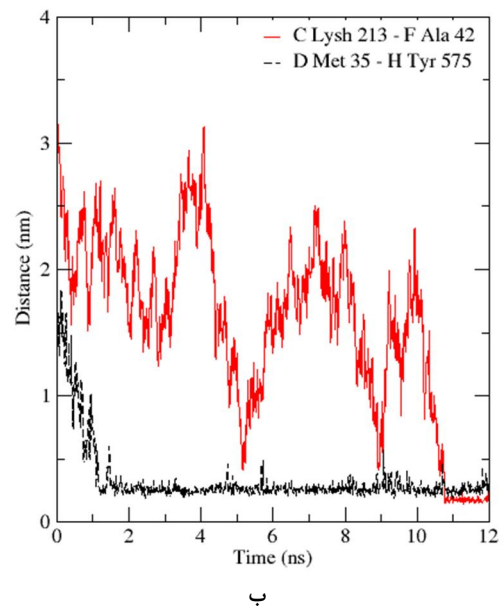


Fig. 6 The number of H-bonds between nano cargo and nano actuator as function of simulation time

شکل 6 تعداد پیوندهای هیدروژنی برقرار شده بین نانومحموله و نانوعملگر به صورت تابعی از زمان شبیه‌سازی

بیشتری محموله بیماری‌زا را به دام انداخته و از فعالیت آن جلوگیری به عمل آورد. به همین منظور لازم است بررسی‌های بیشتری صورت پذیرد و با افزودن قابلیت‌های جدید به نانوعملگر پریفولدینی آن را برای مهار کردن الیگومرهای آمیلوئید بتا بهینه‌سازی کرد. به عنوان مثال پیشنهاد می‌شود که برای بهبود رفتار بازوها در نانوعملگر پریفولدینی جهش ایجاد شود. یعنی با جایگزین کردن آمینواسیدهای آب‌گزیر به جای آب‌دوست باعث ایجاد برهم‌کنش و جاذبه هیدروفوبیک بین محموله و نانوعملگر شد که این موضوع می‌تواند به اتصال دیگر بازوها کمک کند.



- microscopy for nanomechanical characterization of early and late-stage amyloid- β peptide aggregation, *Scientific Reports*, Vol. 4, No. 1, pp. 1-7, 2014.
- [3] L. N. Zhao, H. W. Long, Y. Mu, L. Y. Chew, The toxicity of amyloid β oligomers, *International Journal of Molecular Sciences*, Vol. 13, No. 12, pp. 7303-7327, 2012.
- [4] D. J. Selkoe, The molecular pathology of Alzheimer's disease, *Neuron*, Vol. 6, No. 4, pp. 487-498, 1991.
- [5] G. M. Shankar, S. Li, T. H. Mehta, A. Garcia-Munoz, N. E. Shepardson, I. Smith, F. M. Brett, M. A. Farrell, M. J. Rowan, C. A. Lemere, C. M. Regan, D. M. Walsh, B. L. Sabatini, D. J. Selkoe, Amyloid- β protein dimers isolated directly from Alzheimer's brains impair synaptic plasticity and memory, *Nature Medicine*, Vol. 14, No. 8, pp. 837-842, 2008.
- [6] K. Ono, M. M. Condron, D. B. Teplow, Structure-neurotoxicity relationships of amyloid-protein oligomers, *Proceedings of the National Academy of Sciences*, Vol. 106, No. 35, pp. 14745-14750, 2009.
- [7] B. Bukau, J. Weissman, A. Horwich, Molecular chaperones and protein quality control, *Cell*, Vol. 125, No. 3, pp. 443-451, 2006.
- [8] Y. O. Ali, B. M. Kitay, R. G. Zhai, Dealing with misfolded proteins: examining the neuroprotective role of molecular chaperones in neurodegeneration, *Molecules*, Vol. 15, No. 10, pp. 6859-6887, 2010.
- [9] P. J. Muchowski, J. L. Wacker, Modulation of neurodegeneration by molecular chaperones, *Nature Reviews Neuroscience*, Vol. 6, No. 1, pp. 11-22, 2005.
- [10] F. C. Dehle, H. Ecroyd, I. F. Musgrave, J. A. Carver, $\alpha\beta$ -Crystallin inhibits the cell toxicity associated with amyloid fibril formation by κ -casein and the amyloid- β peptide, *Cell Stress Chaperones*, Vol. 15, No. 6, pp. 1013-1026, 2010.
- [11] M. King, F. Nafar, J. Clarke, K. Mearow, The small heat shock protein Hsp27 protects cortical neurons against the toxic effects of β -amyloid peptide, *Journal of Neuroscience Research*, Vol. 87, No. 14, pp. 3161-3175, 2009.
- [12] S. I. A. Cohen, P. Arosio, J. Presto, F. R. Kurudenkandy, H. Biverstäl, L. Dolfe, C. Dunning, X. Yang, B. Frohm, M. Vendruscolo, J. Johansson, C. M. Dobson, A. Fisahn, T. P. J. Knowles, S. Linse, A molecular chaperone breaks the catalytic cycle that generates toxic A β oligomers, *Nature Structural and Molecular Biology*, Vol. 22, No. 3, pp. 207-213, 2015.
- [13] I. E. Vainberg, S. A. Lewis, H. Rommelaere, C. Ampe, J. Vandekerckhove, H. L. Klein, N. J. Cowan, Prefoldin, a chaperone that delivers unfolded proteins to cytosolic chaperonin, *Cell*, Vol. 93, No. 5, pp. 863-873, 1998.
- [14] A. Ohtaki, H. Kida, Y. Miyata, N. Ide, A. Yonezawa, T. Arakawa, R. Iizuka, K. Noguchi, A. Kita, M. Odaka, K. Miki, M. Yohda, Structure and molecular dynamics simulation of archaical Prefoldin: the molecular mechanism for binding and recognition of nonnative substrate proteins, *Journal of Molecular Biology*, Vol. 376, No. 4, pp. 1130-1141, 2008.
- [15] M. Sakono, T. Zako, H. Ueda, M. Yohda, M. Maeda, Formation of highly toxic soluble amyloid beta oligomers by the molecular chaperone prefoldin, *FEBS Journal*, Vol. 275, No. 23, pp. 5982-5993, 2008.
- [16] A. Shokuhfar, A. Ghaffari, R. H. Ghasemi, Cavity control of Prefoldin nano actuator (PNA) by temperature and pH, *Nano-Micro Letters*, Vol. 4, No. 2, pp. 110-117, 2012.
- [17] B. Barz, B. Urbanc, Dimer formation enhances structural differences between amyloid β -protein (1-40) and (1-42): an explicit-solvent molecular dynamics study, *PLoS One*, Vol. 7, No. 4, pp. 1-17, 2012.
- [18] T. Luhrs, C. Ritter, M. Adrian, D. Riek-Loher, B. Bohrmann, H. Döbeli, D. Schubert, R. Riek, 3D structure of Alzheimer's amyloid (1-42) fibrils, *Proceedings of the National Academy of Sciences*, Vol. 102, No. 48, pp. 17342-17347, 2005.
- [19] J. D. Pham, R. K. Spencer, K. H. Chen, J. S. Nowick, A fibril-like assembly of oligomers of a peptide derived from β -amyloid, *Journal of American Chemical Society*, Vol. 136, No. 36, pp. 12682-12690, 2014.
- [20] W.-J. Du, J.-J. Guo, M.-T. Gao, S.-Q. Hu, X.-Y. Dong, Y.-F. Han, F.-F. Liu, S. Jiang, Y. Sun, Braziliin inhibits amyloid β -protein fibrillogenesis, remodels amyloid fibrils and reduces amyloid cytotoxicity, *Scientific Reports*, Vol. 5, No. 1, pp. 1-10, 2015.
- [21] A. H. C. Horn, H. Sticht, Amyloid- β 42 oligomer structures from fibrils: a systematic molecular dynamics study, *Journal of Physical Chemistry B*, Vol. 114, No. 6, pp. 2219-2226, 2010.

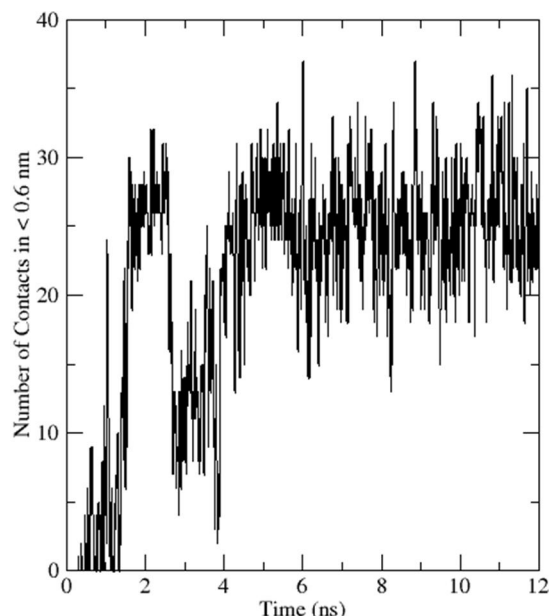


Fig. 7 The number of contacts between two atoms of cargo and actuator in the distance of less than 0.6 nm as function of simulation time

شکل 7 تعداد تماس‌ها بین جفت اتم‌های محموله و عملگر در فاصله کمتر از 0.6 nm به صورت تابعی از زمان شبیه‌سازی

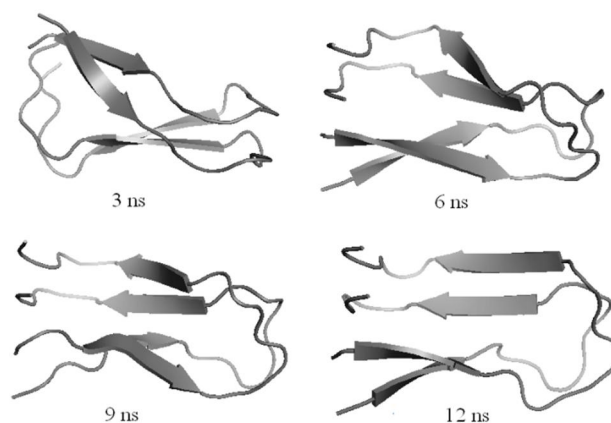


Fig. 8 Conformational changes of dimeric pathogenetic nano cargo in the various time of simulation

شکل 8 تغییرات پیکربندی محموله بیماری‌زا دایمر در زمان‌های مختلف شبیه‌سازی

5- منابع

- [1] J. Hardy, A hundred years of Alzheimer's disease research, *Neuron*, Vol. 52, No. 1, pp. 3-13, 2006.
- [2] C. Tinker-Mill, J. Mayes, D. Allsop, O. V. Kolosov, Ultrasonic force